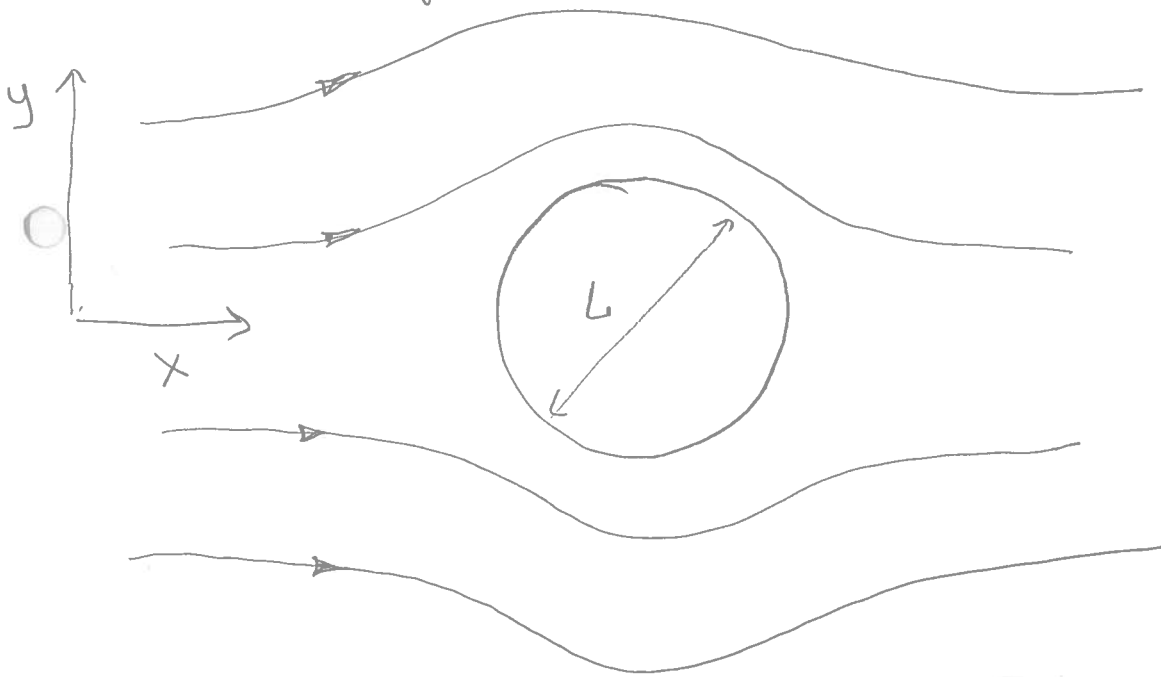


# Turbulence

199

As a function of the Reynolds number character of the flow is changing. Consider a flow around a cylinder



In general Navier Stokes equation has following symmetries for this geometry

1. up-down ( $y$ -reversal)

2. time invariance ( $t \rightarrow t + \text{const}$ )

3. translational invariance along  $z$  (cylinder axis)

4. for  $Re \rightarrow 0$  (Laminar flow) there is additional left-right symmetry ( $x$ -reversal)

(200)

With increase of  $Re$  first disappears (continuously) approximate left-right symmetry - wake formation - standing vortices.

Then at  $Re \approx 40$  there is bifurcation and solution becomes periodic in time. Continuous time invariance  $\rightarrow$  discrete. For larger

○  $Re$  up-down symmetry is spontaneously broken (von Karman vortex street).

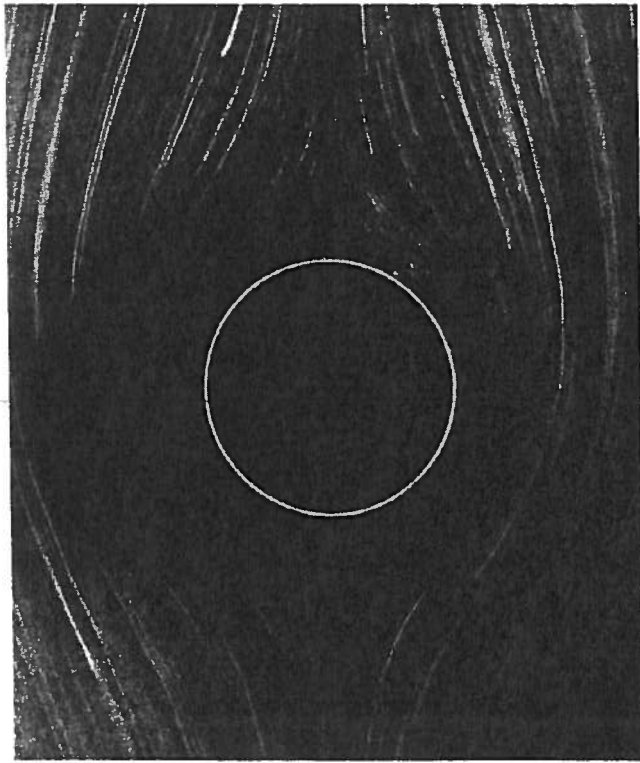
Then  $z$  axis translation symmetry breaks and later flow becomes chaotic. At very high Reynolds number

○ some symmetries are restored but in statistical sense.

Симметрия верха и низа — это

$$(x, y, z) \rightarrow (x, -y, z), \quad (u, v, w) \rightarrow (u, -v, w). \quad (1.6)$$

Легко проверить, что симметрия левого и правого не вытекает из уравнения Навье-Стокса, а может быть введена, только если мы пренебрежем нелинейным членом. На самом деле тщательное изучение рис. 1.2 показывает, что симметрия левого и правого не точна, а немного *нарушена*. Это — проявление остаточной нелинейности, которое становится еще слабее при дальнейшем уменьшении числа Рейнольдса.

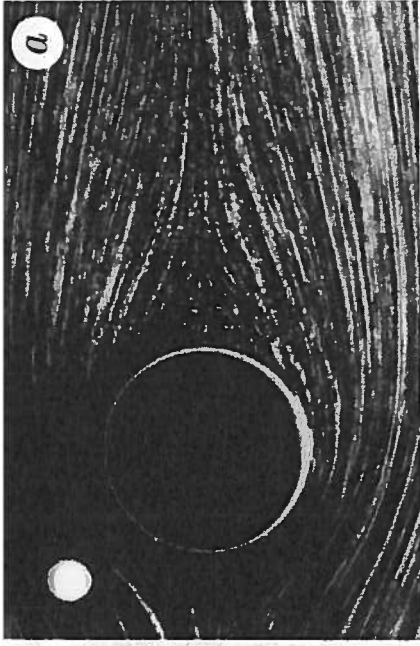


$Re = 1.54$

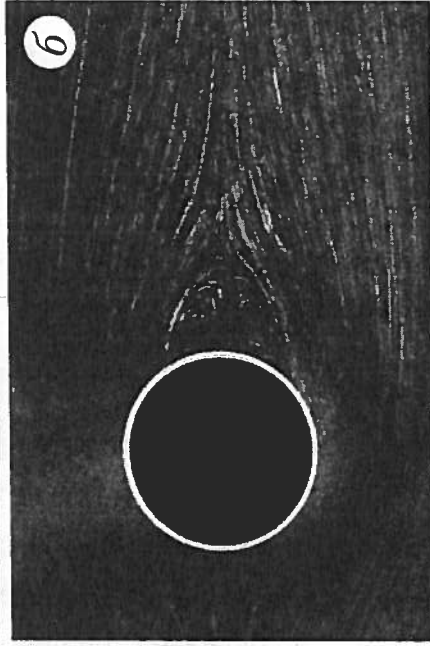
Рис. 1.3. Круговой цилиндр при  $R = 1,54$  (Van Dyke 1982). Фотография: S. Taneda

На рис. 1.3 изображено течение при  $R = 1,54$ . Теперь отсутствие симметрии между левой и правой сторонами стало хорошо заметным. Около  $R = 5$  поток за цилиндром разрушается. Хотя нового нарушения симметрии не происходит, топология течения изменяется из-за образования стоячих вихрей, показанных на рис. 1.4 для различных значений  $R$  от 9,6 до 26.

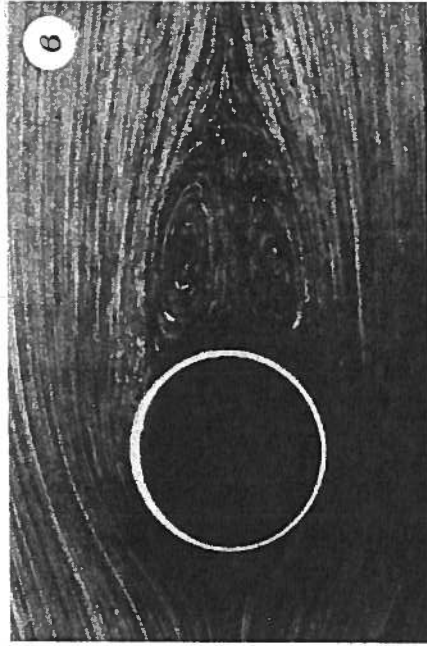
Около  $R = 40$  происходит первая настоящая потеря симметрии, когда после бифуркации Андронова-Хопфа течение начинает зависеть от



$Re = 9.6$

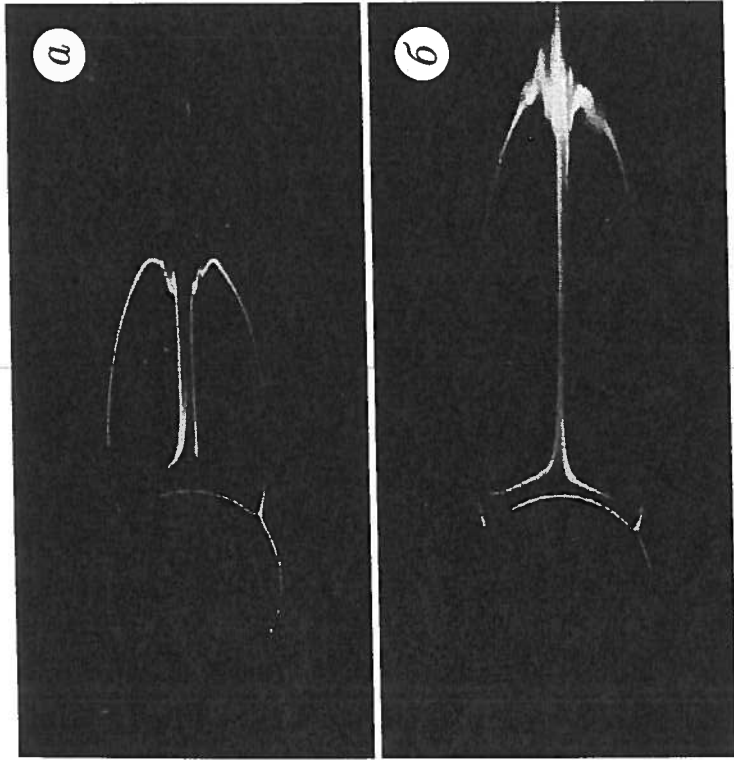


$Re = 13.1$



$Re = 26$

Рис. 1.4. Круговой цилиндр при  $Re = 9,6$  (а),  $Re = 13,1$  (б) и  $Re = 26$  (в) (Van Dyke 1982). Фотография: S. Taneda



1.5. Круговой цилиндр при  $R = 28,4$  (а) и  $R = 41,0$  (б) (Van Dyke 1982). Фотография: S. Taneda

мени периодически; иными словами, непрерывная  $t$ -инвариантность является дискретной. Течение в ближайшей окрестности точки бифуркации показано на рис. 1.5. При более высоких значениях  $R$  срывы приводят к образованию знаменитой дорожки Кармана из чередующихся вихрей, которая показана на рис. 1.6, 1.7 и рис. 1.8, полученный при численном моделировании газа на двумерной решетке. Следует отметить, что симметрия верха и низа в сущности не нарушается, так через половину периода верхние вихри станут точным зеркальным отражением нижних.

Неизвестно, при каком числе Рейнольдса нарушается однородность течения по оси  $z$ . Это трудно определить экспериментально, так как цилиндр не может быть сделан бесконечным и должен удерживаться в каком-либо устройстве, что неизбежно вносит неоднородность  $z$ . Имеется численное подтверждение того, что  $z$ -инвариантность внезапно нарушается, когда число Рейнольдса превосходит некое

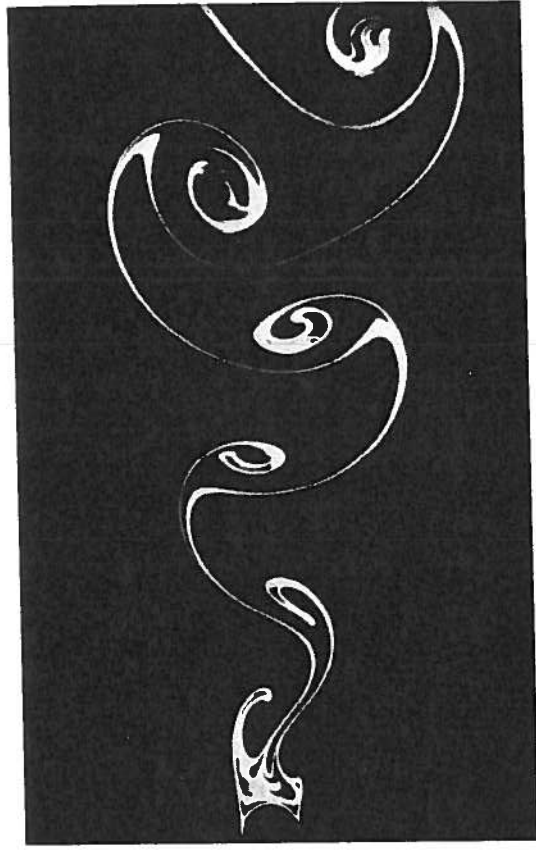


Рис. 1.6. Дорожка Кармана за круговым цилиндром при  $R = 140$  (Van Dyke 1982). Фотография: S. Taneda

*von Karman vortex street*

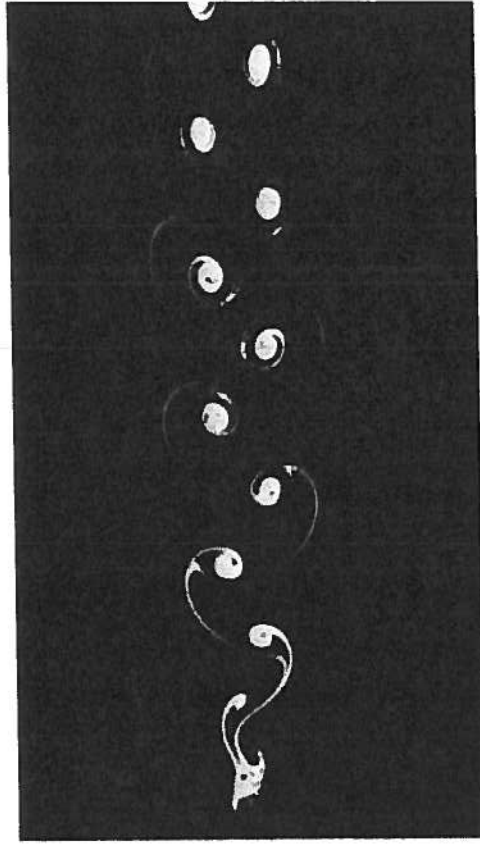
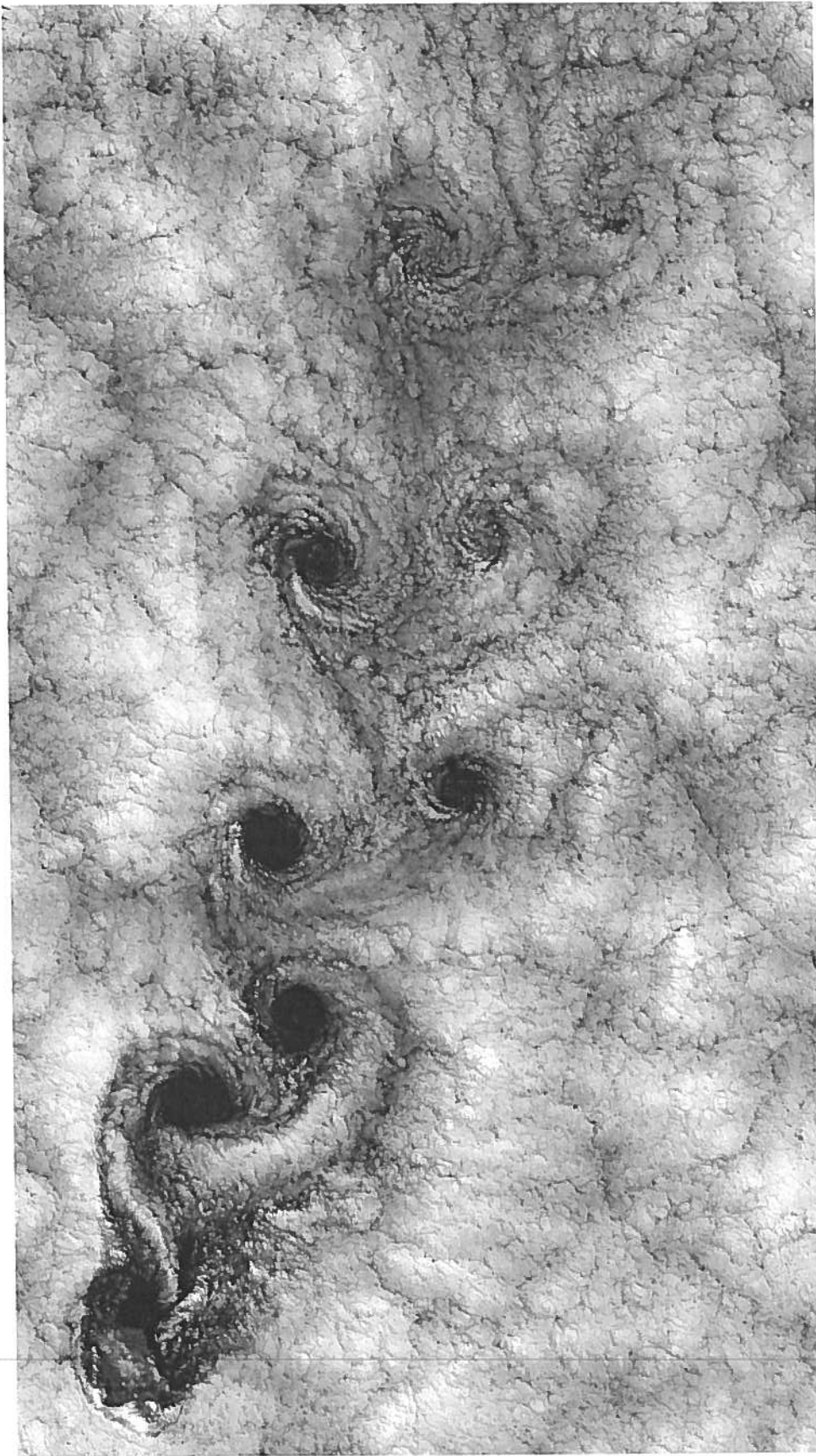


Рис. 1.7. Дорожка Кармана за круговым цилиндром при  $R = 105$  (Van Dyke 1982). Фотография: S. Taneda



von Karman  
vortex street  
caused by wind  
flowing around  
the Juan Fernandez  
Island (Robinson  
Cruzo) off  
the Chilean coast

## Instabilities

Steady solutions formally exist for all Reynolds numbers. But for  $Re > Re_c$  they become unstable. This means that some small perturbations will grow in time.

To look for stability of the steady solution  $\vec{U}_0(r)$ , we superpose a time dependent small perturbation  $\vec{U}_1(r, t)$ .

We should substitute this  $\vec{U} = \vec{U}_0(r) + \vec{U}_1(r, t)$ ,  $P = P_0 + P_1$  in the Navier-Stokes equation. Linearizing we get

$$\frac{\partial \vec{U}_1}{\partial t} + (\vec{U}_0 \cdot \text{grad}) \vec{U}_1 + (\vec{U}_1 \cdot \text{grad}) \vec{U}_0 = -\frac{\text{grad} P_1}{\rho} + \nu \Delta \vec{U}_1$$

$$\text{div } \vec{U}_1 = 0$$

Boundary condition is  $\vec{U}_1 = 0$  at the solid surfaces.

This is system of linear differential equations with time independent coefficients  $\rightarrow$  Eigenvalue problem. We can expand in Fourier

$$\vec{U}_1 = \sum \vec{U}_\omega(r) e^{-i\omega t}$$

If for some  $\omega$ ,  $\text{Im } \omega > 0$  this solution will grow in time.

Sometimes it is easy to figure out which mode become unstable. An example is Kelvin-Helmholtz instability of tangential velocity discontinuity (one fluid layer slides along another - a formal steady solutions of Euler eq.)



Larger velocity  $\rightarrow$  smaller pressure  $\rightarrow$  higher the wave.

○

Let us consider behavior for  $Re \approx Re_c$

(203)

L.D. Landau (1944)

Linearizing NS Eq. near laminar solution  
and check for stability

$$U = U_0 + U_1(r, t); \quad U_1(r, t) = \sum_{\omega} e^{-i\omega t} U_{\omega}(r)$$

Below instability  $Re < Re_c$   $Im \omega < 0$

Just above the instability threshold, there is usually one unstable mode  $\omega_1 \Rightarrow$  at  $Re = Re_c$   $Im \omega_1$  changes sign.

Let us write  $U_1 = A(t) U_1(r)$

where  $A(t) \propto e^{\gamma_1 t - i\omega_1 t}$  for short times

For large times linearization is not working.

In reality  $|A|$  does not grow without limit,

but saturates. For  $Re$  close to  $Re_c$  this

finite value is small and can be determined as follows.

Initial exponential growth of  $|A|$  can be obtained <sup>(204)</sup> from the equation

$$\frac{d|A|^2}{dt} = 2\gamma_1 |A|^2$$

R.h.s is just the first term in an expansion in  $A$  and  $A^*$ . In general,

$$\frac{d|A|^2}{dt} = 2\gamma_1 |A|^2 + \text{third order term} + \text{fourth order term} + \dots$$

Averaging over times larger than  $\frac{2\pi}{\omega_1}$  but smaller than  $\frac{2\pi}{\gamma_1}$  odd terms vanish and

$$\frac{d|A|^2}{dt} = 2\gamma_1 |A|^2 - \alpha |A|^4$$

For  $\alpha > 0$  solution of this equation is

$$|A|^{-2} = \frac{\alpha}{2\gamma_1} + \text{const} e^{-2\gamma_1 t}$$

Thus the saturated value

$$|A|_{\text{max}}^2 = \frac{2\gamma_1}{\alpha}$$

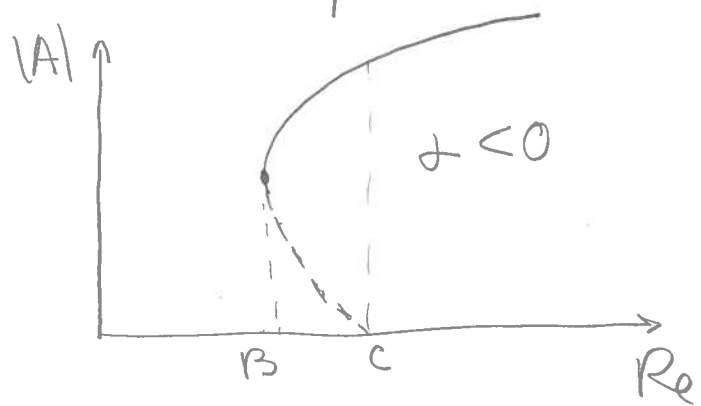
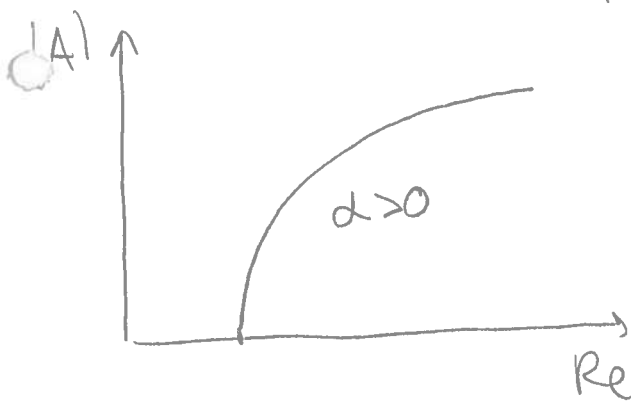
$\gamma_1$  is some function of the Reynolds number

Near  $Re_c$  it can be expanded as power series of  $Re - Re_c$ . But  $\gamma_1(Re_c) = 0$  by the definition of critical Reynolds number. Thus it is reasonable to assume that  $\gamma_1 \propto Re - Re_c \Rightarrow$

$|A|_{max} \propto (Re - Re_c)^{1/2}$

If  $\alpha < 0$  then one needs  $-\beta |A|^6$  term to stabilize the instability and

$$|A|^2_{max} = \frac{|\alpha|}{2\beta} \pm \sqrt{\frac{\alpha^2}{4\beta^2} + \frac{2\gamma_1}{\beta}}$$



Between B and C the steady flow is metastable (stable with infinitesimally small but unstable with respect to perturbation of finite amplitude). Broken curve is unstable branch.